

Resultados principais

Produção do sistema

Energia produzida

701212 kWh/ano

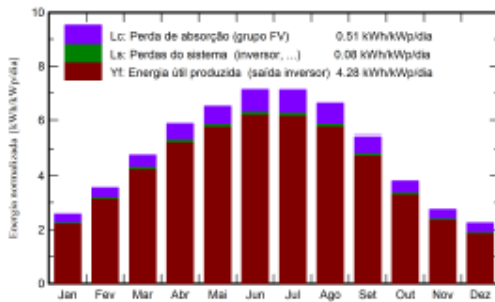
Produção específica

Índice de perf. PR

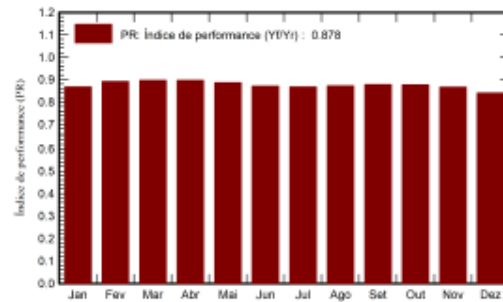
1562 kWh/kWp/ano

87.81 %

Produções normalizadas (por kWp instalado)



Índice de performance (PR)



Balanços e resultados principais

| | GlobHor | DiffHor | T_Amb | GlobInc | GlobEff | EArray | E_Grid | PR |
|-----------|--------------------|--------------------|-------|--------------------|--------------------|--------|--------|-------|
| | kWh/m ² | kWh/m ² | °C | kWh/m ² | kWh/m ² | kWh | kWh | rácio |
| Janeiro | 58.3 | 22.63 | 8.00 | 80.1 | 77.1 | 31916 | 31211 | 0.869 |
| Fevereiro | 77.3 | 27.72 | 8.78 | 99.6 | 97.0 | 40685 | 39874 | 0.892 |
| Março | 126.5 | 42.78 | 11.35 | 147.8 | 145.1 | 60636 | 59507 | 0.897 |
| Abril | 161.7 | 53.40 | 12.77 | 176.1 | 173.3 | 72268 | 70926 | 0.897 |
| Mai | 197.2 | 64.48 | 16.02 | 202.1 | 198.7 | 81868 | 80376 | 0.886 |
| Junho | 213.0 | 63.60 | 20.08 | 214.0 | 210.6 | 85318 | 83758 | 0.872 |
| Julho | 217.6 | 61.69 | 22.25 | 221.1 | 217.6 | 87642 | 86096 | 0.868 |
| Agosto | 192.5 | 53.63 | 21.67 | 205.6 | 202.4 | 81918 | 80500 | 0.872 |
| Setembro | 142.5 | 43.50 | 19.55 | 163.1 | 160.4 | 65416 | 64241 | 0.878 |
| Outubro | 96.1 | 35.65 | 15.53 | 117.9 | 115.1 | 47344 | 46414 | 0.877 |
| Novembro | 60.9 | 24.30 | 11.54 | 82.4 | 79.3 | 32778 | 32073 | 0.867 |
| Dezembro | 48.4 | 20.15 | 9.26 | 69.5 | 65.5 | 26893 | 26237 | 0.841 |
| Ano | 1591.9 | 513.53 | 14.77 | 1779.3 | 1742.5 | 714683 | 701212 | 0.878 |

Ferramenta de envelhecimento

Parâmetros do envelhecimento

Intervalo total da simulação 25 anos

Degradação média dos módulos

Fator de perda 0.4 %/ano

Mismatch devido à degradação

RMS da dispersão de Imp

0.4 %/ano

RMS da dispersão de Vmp

0.4 %/ano

Meteorologia utilizada para a simulação

Vale Nasa SYN

Anos ano de referência

| Ano | EUseful | PR | Perda de PR |
|-----|---------|-------|-------------|
| | MWh | % | % |
| 1 | 700.2 | 87.68 | -0.23 |
| 2 | 696.9 | 87.26 | -0.70 |
| 3 | 693.6 | 86.85 | -1.17 |
| 4 | 690.3 | 86.44 | -1.64 |
| 5 | 687.0 | 86.02 | -2.11 |
| 6 | 683.7 | 85.61 | -2.58 |
| 7 | 679.3 | 85.06 | -3.21 |
| 8 | 674.9 | 84.51 | -3.84 |
| 9 | 670.5 | 83.96 | -4.46 |
| 10 | 666.1 | 83.41 | -5.09 |
| 11 | 661.7 | 82.86 | -5.71 |
| 12 | 657.7 | 82.36 | -6.29 |
| 13 | 653.6 | 81.85 | -6.87 |
| 14 | 649.6 | 81.34 | -7.44 |
| 15 | 645.5 | 80.84 | -8.02 |
| 16 | 641.5 | 80.33 | -8.59 |
| 17 | 638.5 | 79.96 | -9.02 |
| 18 | 635.5 | 79.59 | -9.44 |
| 19 | 632.6 | 79.21 | -9.87 |
| 20 | 629.6 | 78.84 | -10.29 |
| 21 | 626.6 | 78.47 | -10.71 |
| 22 | 621.7 | 77.86 | -11.41 |
| 23 | 616.9 | 77.25 | -12.10 |
| 24 | 612.0 | 76.64 | -12.80 |
| 25 | 607.1 | 76.03 | -13.49 |

Resultados principais

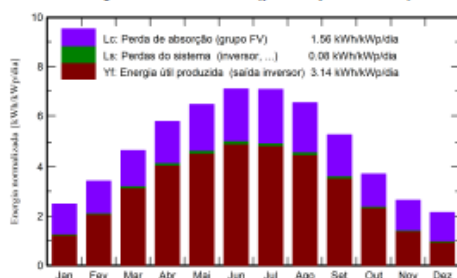
Produção do sistema

Energia produzida 274586 kWh/ano

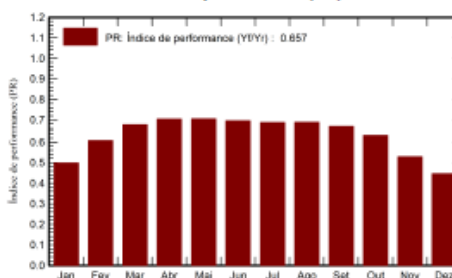
Produção específica 1147 kWh/kWp/ano

Índice de perf. PR 65.72 %

Produções normalizadas (por kWp instalado)



Índice de performance (PR)



Balances e resultados principais

| | GlobHor kWh/m ² | DiffHor kWh/m ² | T_Amb °C | GlobInc kWh/m ² | GlobEff kWh/m ² | EArray kWh | E_Grid kWh | PR rácio |
|-----------|-------------------------------|-------------------------------|-------------|-------------------------------|-------------------------------|---------------|---------------|-------------|
| Janeiro | 58.3 | 22.63 | 8.00 | 77.2 | 58.6 | 9528 | 9221 | 0.499 |
| Fevereiro | 77.3 | 27.72 | 8.78 | 95.9 | 82.1 | 14340 | 13958 | 0.608 |
| Março | 126.5 | 42.78 | 11.35 | 144.6 | 132.8 | 24033 | 23429 | 0.677 |
| Abril | 161.7 | 53.40 | 12.77 | 173.1 | 162.8 | 29956 | 29204 | 0.705 |
| Mai | 197.2 | 64.48 | 16.02 | 200.3 | 188.8 | 34684 | 33815 | 0.705 |
| Junho | 213.0 | 63.60 | 20.08 | 212.8 | 201.0 | 36371 | 35460 | 0.696 |
| Julho | 217.6 | 61.69 | 22.25 | 219.3 | 206.7 | 36994 | 36085 | 0.687 |
| Agosto | 192.5 | 53.63 | 21.67 | 202.7 | 191.4 | 34228 | 33405 | 0.689 |
| Setembro | 142.5 | 43.50 | 19.55 | 158.9 | 147.6 | 26099 | 25460 | 0.669 |
| Outubro | 96.1 | 35.65 | 15.53 | 114.9 | 101.7 | 17858 | 17395 | 0.633 |
| Novembro | 60.9 | 24.30 | 11.54 | 79.3 | 62.4 | 10344 | 10031 | 0.529 |
| Dezembro | 48.4 | 20.15 | 9.26 | 66.7 | 47.2 | 7406 | 7123 | 0.446 |
| Ano | 1591.9 | 513.53 | 14.77 | 1745.6 | 1583.0 | 281842 | 274586 | 0.657 |

Legendas

GlobHor Irradiação horizontal total

DiffHor Irradiação difusa horizontal

T_Amb Temperatura ambiente

GlobInc Incidência global no plano dos sensores

GlobEff Global efetivo, corrigido para IAM e sombras

EArray Energia efetiva à saída do grupo

E_Grid Energia injetada na rede

PR Índice de performance

Ferramenta de envelhecimento

Parâmetros do envelhecimento

Intervalo total da simulação 25 anos

Degradação média dos módulos

Fator de perda 0.4 %/ano

Mismatch devido à degradação

RMS da dispersão de Imp 0.4 %/ano

RMS da dispersão de Vmp 0.4 %/ano

Meteorologia utilizada para a simulação

Corredora Nasa SYN

Anos ano de referência

| Ano | EUseful MWh | PR % | Perda de PR % |
|-----|----------------|---------|------------------|
| 1 | 317.0 | 75.88 | -0.23 |
| 2 | 315.6 | 75.53 | -0.70 |
| 3 | 314.1 | 75.17 | -1.17 |
| 4 | 312.6 | 74.82 | -1.63 |
| 5 | 311.1 | 74.46 | -2.10 |
| 6 | 309.6 | 74.11 | -2.57 |
| 7 | 307.7 | 73.64 | -3.19 |
| 8 | 305.7 | 73.16 | -3.81 |
| 9 | 303.7 | 72.69 | -4.42 |
| 10 | 301.8 | 72.22 | -5.04 |
| 11 | 299.8 | 71.75 | -5.66 |
| 12 | 298.0 | 71.33 | -6.22 |
| 13 | 296.2 | 70.90 | -6.78 |
| 14 | 294.5 | 70.48 | -7.34 |
| 15 | 292.7 | 70.05 | -7.90 |
| 16 | 290.9 | 69.62 | -8.46 |
| 17 | 289.5 | 69.28 | -8.91 |
| 18 | 288.0 | 68.94 | -9.36 |
| 19 | 286.6 | 68.59 | -9.82 |
| 20 | 285.2 | 68.25 | -10.27 |
| 21 | 283.7 | 67.91 | -10.72 |
| 22 | 281.3 | 67.33 | -11.48 |
| 23 | 278.9 | 66.75 | -12.24 |
| 24 | 276.5 | 66.17 | -13.00 |
| 25 | 274.0 | 65.59 | -13.76 |